

دو فصلنامه علمی-پژوهشی تحقیقات ژنتیک و اصلاح گیاهان مرتعی و جنگلی ایران
جلد ۲۱، شماره ۲، صفحه ۱۹۷-۱۸۳ (۱۳۹۲)

بررسی تنوع ژنتیکی گونه‌های اسکنبیل (*Calligonum L.*) در ایران با استفاده از نشانگرهای RAPD

حسن دشتی خویدکی^{۱*}، حسین آذرینوند^۲، محمدرضا نقوی^۳، محمد جعفری^۴ و علی طویلی^۵

*- نویسنده مسئول مکاتبات، دانشجوی دکترای بیابان‌زدایی، دانشکده منابع طبیعی دانشگاه تهران، کرج

پست الکترونیک: hassandashti51@yahoo.com

۲- استاد، دانشکده منابع طبیعی دانشگاه تهران، کرج

۳- استاد، دانشکده کشاورزی دانشگاه تهران، کرج

۴- استاد، دانشکده منابع طبیعی دانشگاه تهران، کرج

۵- دانشیار، دانشکده منابع طبیعی دانشگاه تهران، کرج

تاریخ پذیرش: ۱۳۹۱/۰۴/۱۱

تاریخ دریافت: ۱۳۹۰/۱۱/۰۳

چکیده

گونه‌های جنس *Calligonum* در مناطق بیابانی آسیای مرکزی پراکنده‌اند و نقش مهمی در تثبیت شن و بادشکن دارند. مارکر RAPD مارکر ژنتیکی مفیدی در بیان پلی‌مورفیسم گیاهان و مطالعه خویشاوندی بین گونه‌هاست. به منظور بررسی تنوع ژنتیکی بین و درون گونه‌ای جنس اسکنبیل در ایران، تعداد ۲۶ نمونه از ۱۱ گونه اسکنبیل از مناطق مختلف ایران جمع‌آوری و با استفاده از ۱۵ آغازگر مورد تجزیه RAPD قرار گرفتند. نتایج حاصل از شاخص‌های تنوع، ماتریس تشابه Dice، تجزیه خوشه‌ای به روش UPGMA و اطلاعات باندها، نشان داد که ۱۹۱ مکان توسط آغازگرها تکثیر شده و بطور متوسط ۹۴٪ مکان‌ها چندشکل بودند. تجزیه خوشه‌ای، تنوع قابل توجهی را در بین نمونه‌ها نشان داد. میزان تشابه از ۰/۸۱ برای نزدیکترین افراد در داخل گونه *C. bungei* تا ۰/۴۵ بین دورترین نمونه‌ها مربوط به گونه‌های مختلف، مشاهده شد. کل نمونه‌ها به چهار گروه اصلی تبدیل شدند که یکی از گروه‌ها شامل یک نمونه از گونه *C. polygonoides* و یک گروه مربوط به افراد گونه *C. leucocladum* بود و دو گروه دیگر مخلوطی از گونه‌های مختلف بودند که هر کدام به دو زیرگروه تقسیم شدند. گروه‌بندی ژنتیکی بدست آمده از RAPD با توزیع جغرافیایی مطابقت ضعیفی نشان داد که این مسئله ممکن است به دلیل مهاجرت بذرهای این گیاه از منطقه‌ای به منطقه دیگر توسط انسان و بادهای شدید و یا به علت تعداد کم آغازگر باشد.

واژه‌های کلیدی: اسکنبیل، ژرم‌پلاسم، تشابه، تجزیه خوشه‌ای، توزیع جغرافیایی، RAPD.

مقدمه

(Wei et al., 2009). حفاظت و استفاده پایدار از منابع ژنتیکی جهت تأمین امنیت غذایی در آینده یک ضرورت است (Rao, 2004). در این بین تکنیک‌های مولکولی توانسته‌اند حفاظت و مدیریت منابع ژنتیکی گیاهی (PGR) را به‌ویژه در زمینه‌های اطلاعات مربوط به تنوع ژنتیکی در

Calligonum spp گونه‌های گیاهی در مناطق بیابانی آسیای مرکزی می‌باشند. از آنجایی که این گیاهان مقاوم به خشکی و شوری هستند، به راحتی در ماسه‌زارها رشد می‌کنند و برای تثبیت ماسه‌ها و احداث بادشکن مفیدند

درون و بین گونه‌ها بهبود بخشند (Rao, 2004 و Powell و همکاران، ۱۹۹۶) و بطور فزاینده ای در شناسایی روابط فیلوژنی مورد استفاده قرار گیرند. اطلاع کافی از همولوژی‌های ژنومیکی به برنامه‌ریزی و راهبردهای اصلاحی در حفاظت از ژرم‌پلاسم و انتقال ژنها از یک گونه به گونه دیگر کمک می‌نماید (Rao & Riley, 1994). پیشرفت‌های اخیر با استفاده از PCR، روش‌های مؤثر و سریعی را برای بررسی پلی‌مورفیسم در سطح DNA فراهم نموده است و از آن می‌توان در شناسایی ژن‌های مقاومت و نشان‌دار کردن و تشخیص QTLها، بهبود مدیریت ژرم‌پلاسم و انتخاب به کمک مارکرها استفاده نمود. مارکرهای مولکولی در جنس کالیگونوم برای بررسی تنوع ژنتیکی، تشخیص ژنوتیپ و تهیه نقشه ژنتیکی استفاده شده است (Fernandes *et al.*, 2002).

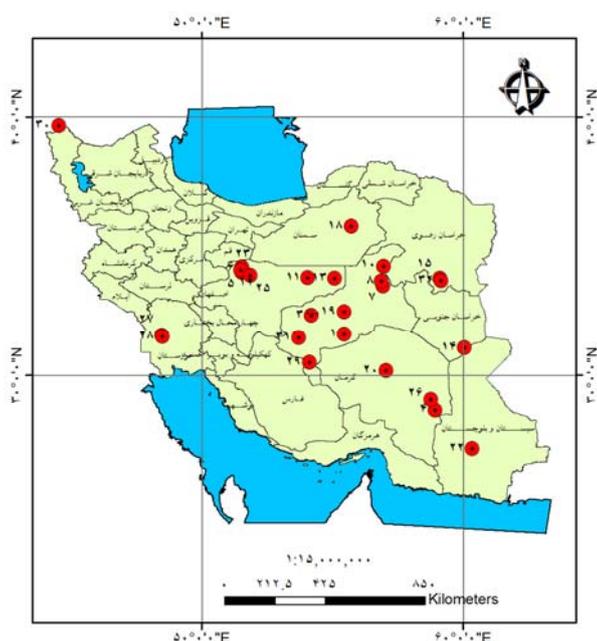
مارکرهای RAPD به دلیل مزایایی مانند تولید تعداد زیادی باند، پلی‌مورفیسم زیاد، عدم استفاده از مواد رادیواکتیو و عدم نیاز به وجود اطلاعاتی در مورد توالی ژنومی گیاه، همواره در بررسی تنوع ژنتیکی مخازن ژنتیکی مورد استفاده قرار گرفته است (Strelchenko *et al.*, 2003; Vornom & Gebhardt, 1999). مارکر RAPD نشانگر ژنتیکی مفیدی در بیان پلی‌مورفیسم گیاهان خودگشن که تنوع درون گونه‌ای پایینی دارند، می‌باشد (Joshi & Nguyen, 1993). چنانکه مارکرهای RAPD رابطه خویشاوندی بین دیپلوئیدها و آمفی دیپلوئیدهای براسیکاها (مثلت U) را بخوبی نشان داده‌اند (Demeke *et al.*, 1992). در تحقیقی Milbourne و همکاران (۱۹۹۷) با در نظر گرفتن یک باند به‌عنوان یک لوکوس شاخص تنوع را به صورت $Di = 1 - \sum pi^2$ تعریف کردند که در آن pi فراوانی آمین آلل (باند) می‌باشد. و شاخص تنوع برای پرایمر عبارت است از جمع Diهای

باند‌های آن آغازگر ($\sum Di$) و DI متوسط شاخص تنوع برای هر آغازگر می‌باشد $[DI = (\sum Di) / n]$ و n تعداد لوکوس‌های هر آغازگر است. شاخص دیگری که در بیان تنوع و تفکیک ژنوتیپ‌ها از یکدیگر مورد استفاده قرار می‌گیرد شاخص قدرت تفکیک (R_p) است که توسط Prevost و Wilkinson (۱۹۹۹) ارائه گردید. توانایی تفکیک ژنوتیپ‌ها توسط این شاخص براساس توزیع آلل در درون ژنوتیپ‌های نمونه مورد مطالعه است. کارآمدترین وضعیت جداسازی هر گروه از taxa برای اهداف شناسایی، تقسیم تدریجی گروه به زیرگروه‌های با تعداد مساوی است. به‌عنوان مثال در شرایط ایده‌آل یک گروه ۶۴ تایی در مرحله اول به دو گروه ۳۲ نفری و در مرحله بعد هر گروه به دو گروه ۱۶ نفری و همین‌طور بصورت سلسله مراتبی به گروه‌های ۸، ۴، ۲ و ۱ نفری تقسیم می‌شود. بدین ترتیب در این وضعیت حداقل طول مسیر را برای تفکیک و جداسازی خواهیم داشت (مثلاً در اینجا ۶ تقسیم لازم است). در اغلب سیستم‌های انگشت‌نگاری DNA، ژنوتیپ‌ها براساس حضور و عدم حضور یک باند در یک موقعیت خاص به دو گروه تقسیم می‌شوند. بدین ترتیب هر باند باید در نیمی از ژنوتیپ‌ها حضور داشته باشد و در نیمی نباشد. ارزش موقعیت یک باند از طریق میزان تطبیق آن با شرایط ایده‌آل (۵۰٪ ژنوتیپ-ها دارای آن باند باشند) قابل محاسبه است. این ارزش را میزان اطلاع‌رسانی (band informativeness) باند گویند (Ibi) که از صفر تا ۱ تغییر می‌کند و بصورت $Ibi = 1 - (2 \times |0.5 - p|)$ محاسبه می‌شود. P نسبت ژنوتیپ‌هایی است که دارای باند مورد نظر می‌باشند.

توانایی یک پرایمر برای تشخیص و ممیزی بین تعداد زیادی از ژنوتیپ‌ها عبارت است از مجموع Ibiهای مربوط به باندها و یا لوکوس‌های مورد شناسایی آن

توانایی یک پرایمر برای تشخیص و ممیزی بین تعداد زیادی از ژنوتیپ‌ها عبارت است از مجموع Ibiهای مربوط به باندها و یا لوکوس‌های مورد شناسایی آن

توسط بخش گیاه‌شناسی مؤسسه تحقیقات جنگلها و مراتع کشور، براساس خصوصیات میوه تعیین گونه گردیده‌اند (Maassoumi, 2011) مورد استفاده قرار گرفت (جدول ۱ و شکل ۱). بذرهاي نمونه‌ها در گلدان کشت گردید و ۰/۲ گرم از هر نمونه گیاهی برداشت و DNA آنها به روش CTAB براساس Doyle و Doyle (۱۹۹۰) استخراج و کمیت و کیفیت آن به روش اسپکتروفتومتری تعیین گردید.



شکل ۱ - مناطق جمع‌آوری گونه‌های اسکنبیل

- (۱) *C. polygonoides* (۳) *C. leucocladum* (۴) *C. comosum*
 (۵) *C. polygonoides* (۶) *C. bungei* (۷) *C. stenopterum* (۸)
C. stenopterum (۱۰) *C. stenopterum* (۱۱) *C. leucocladum*
 (۱۲) *C. caput-medusae* (۱۳) *C. arborescense* (۱۴) *C. paletzianum* (۱۵)
C. paletzianum (۱۸) *C. griseum* (۱۹)
C. polygonoides (۲۰) *C. bungei* (۲۲) *C. bungei* (۲۳) *C. comosum* (۲۵)
C. bungei (۲۶) *C. bungei* (۲۷) *C. polygonoides* (۲۸)
C. intertextum (۲۹) *C. comosum* (۳۰)
C. polygonoides (۳۱) *C. polygonoides* (۳۲) *C. crinitum*

پرایمر. این توانایی به‌عنوان قدرت تفکیک آغازگر به صورت $R_p = \sum I_{bi}$ محاسبه می‌شود و I_b متوسط میزان اطلاع‌رسانی برای هر آغازگر است، $[I_b = (\sum I_{bi})/n]$ و n برابر است با تعداد لوکوس‌های هر آغازگر (Sangeeta et al., 2009). تنوع ژنتیکی درون گونه *C. polygonoides* را با استفاده از ۲۲ نمونه در هندوستان، توسط مارکر RAPD مطالعه کرده‌اند و نتایج حاصل تنوع ژنتیکی قابل توجهی را در داخل این گونه نشان داده است. روابط بین گونه‌های جنس کالیگونوم توسط Tao و Ren (۲۰۰۴) از طریق تجزیه آیزوزایم بررسی شده است. در مطالعه‌ای تنوع ژنتیکی بین و درون گونه‌ای کالیگونوم‌های کشور تونس با استفاده از ۱۶ نمونه از سه گونه *C. arich*، *C. azel* و *C. comosum* توسط مارکر RAPD (۴ آغازگر) مورد بررسی قرار گرفت و ۸۹ درصد از ۴۶ لوکوس تکثیر شده پلی‌مورفیسم بودند و دو گونه *C. azel* و *C. comosum* شباهت زیادی را نشان دادند که ممکن است دارای جد مشترک باشند (Dhief et al., 2011). برای فهم و درک بهتر روش‌های حفاظت مؤثر از گونه‌های این جنس در زیستگاه‌های خشک لازم است که ساختار ژنتیکی آن را بشناسیم (Zhang & Zhu, 2009). اطلاعات زیادی در خصوص تنوع ژنتیکی کالیگونوم‌های ایران در دست نیست. در این پژوهش تنوع ژنتیکی بین و درون گونه‌ای چندین گونه از کالیگونوم‌های ایران، توسط مارکر RAPD مورد بررسی قرار گرفته است.

مواد و روش‌ها

مواد گیاهی و استخراج DNA

تعداد ۲۶ نمونه از ۱۱ گونه متعلق به جنس *Calligonum* جمع‌آوری شده از مناطق مختلف ایران که

جدول ۱- گونه‌ها، نمونه‌ها و محل جمع‌آوری آنها

گونه	کد	منشأ	اقلیم	ارتفاع (متر)	مختصات جغرافیایی	
					عرض (N)	طول (E)
<i>C. polygonoides</i>	۱	یزد- بافق	فراخشک معتدل	۱۰۲۵	۳۱ ۳۵ ۰۱	۵۵ ۲۸ ۵
<i>C. leuocladum</i>	۳	یزد- اردکان	فراخشک سرد	۱۱۵۰	۳۲ ۱۸ ۳۶	۵۴ ۱۲ ۱۱
<i>C. comosum</i>	۴	بم- ریگان	فراخشک معتدل	۶۸۰	۲۸ ۳۸ ۳۲	۵۸ ۵۵ ۵۶
<i>C. polygonoides</i>	۵	کاشان	خشک سرد	۹۸۰	۳۴ ۰۴ ۱۷	۵۱ ۳۳ ۴۰
<i>C. bungei</i>	۶	کاشان-آران و بیدگل	خشک سرد	۱۰۸۰	۳۴ ۰۹ ۵۰	۵۱ ۳۳ ۳۹
<i>C. stenopterum</i>	۷	طبس- کریت	فراخشک سرد	۶۷۰	۳۳ ۲۷ ۰۰	۵۶ ۵۷ ۳۶
<i>C. stenopterum</i>	۸	طبس- جمز	فراخشک سرد	۶۶۵	۳۳ ۳۸ ۰۵	۵۶ ۵۳ ۱۳
<i>C. stenopterum</i>	۱۰	طبس- عشق آباد	فراخشک سرد	۸۷۰	۳۴ ۱۲ ۰۴	۵۶ ۵۸ ۵۶
<i>C. leuocladum</i>	۱۱	خور و بیابانک	فراخشک سرد	۸۵۰	۳۳ ۴۶ ۱۵	۵۵ ۰۴ ۱۴
<i>C. caput-medusae</i>	۱۲	کاشان- آران و بیدگل	خشک سرد	۱۰۴۰	۳۴ ۱۰ ۲۹	۵۱ ۳۳ ۱۱
<i>C. arborescense</i>	۱۳	خور و بیابانک	فراخشک سرد	۸۴۰	۳۳ ۴۵ ۰۴	۵۵ ۰۶ ۲۸
<i>C. paletzkianum</i>	۱۴	نهندان	فراخشک معتدل	۱۱۸۰	۳۱ ۰۳ ۳۲	۶۰ ۰۳ ۴۶
<i>C. paletzkianum</i>	۱۵	قائن	خشک سرد	۱۵۰۰	۳۳ ۴۴ ۲۴	۵۹ ۰۷ ۵۷
<i>C. griseum</i>	۱۸	سمنان- خارتوران	خشک سرد	۱۲۱۵	۳۶ ۴۵ ۳۷	۵۵ ۴۴ ۱۰
<i>C. polygonoides</i>	۱۹	یزد- ساغند	فراخشک سرد	۱۰۶۰	۳۲ ۲۷ ۲۲	۵۵ ۲۷ ۳۶
<i>C. bungei</i>	۲۰	کرمان	خشک سرد	۱۷۹۰	۳۰ ۰۹ ۰۸	۵۷ ۰۴ ۲۷
<i>C. bungei</i>	۲۲	ایران شهر	فراخشک معتدل	۵۲۰	۲۷ ۰۸ ۱۸	۶۰ ۲۱ ۳۰
<i>C. comosum</i>	۲۳	کاشان-آران و بیدگل	خشک سرد	۹۰۵	۳۴ ۰۳ ۵۳	۵۱ ۳۱ ۴۱
<i>C. bungei</i>	۲۵	کاشان-ابوزیدآباد	خشک سرد	۹۳۰	۳۳ ۵۵ ۴۹	۵۱ ۴۵ ۰۶
<i>C. bungei</i>	۲۶	بم-نرماشیر	فراخشک معتدل	۷۲۵	۲۹ ۰۳ ۱۵	۵۸ ۴۷ ۱۴
<i>C. polygonoides</i>	۲۷	خوزستان	خشک گرم	۴۰	۳۱ ۳۱ ۲۲	۴۸ ۳۰ ۱۳
<i>C. intertextum</i>	۲۸	خوزستان	خشک گرم	۳۰	۳۱ ۲۸ ۲۷	۴۸ ۳۰ ۵۵
<i>C. comosum</i>	۲۹	یزد-مروست	فراخشک سرد	۱۵۸۰	۳۰ ۲۸ ۱۶	۵۴ ۰۸ ۰۶
<i>C. polygonoides</i>	۳۰	آذربایجان غربی- بورالان	نیمه خشک سرد	۱۱۰۰	۳۹ ۳۸ ۴۰	۴۴ ۳۳ ۴۴
<i>C. polygonoides</i>	۳۱	یزد-دهشیر	فراخشک سرد	۱۷۸۰	۳۱ ۲۶ ۲۷	۵۳ ۴۳ ۶۰
<i>C. crinitum</i>	۳۲	قائن	خشک سرد	۱۵۲۰	۳۳ ۳۹ ۵۹	۵۹ ۱۰ ۳۵

تجزیه RAPD

۱۵ آغازگر ۱۰ نوکلئوتیدی ساخت شرکت سیناژن و UBC که پلی مورفیسم قابل توجهی را نشان دادند از بین ۳۰ آغازگر انتخاب شد (جدول ۲). واکنش PCR در حجم ۲۵ میکرولیتر حاوی ۱/۹ میکرولیتر $MgCl_2$ با غلظت $10mM\mu l^{-1}$ ، ۱ میکرولیتر از $dNTP$ با غلظت $25mM\mu l^{-1}$ ، ۱ میکرولیتر آغازگر با غلظت $10\mu M$ ، ۲/۵ میکرولیتر از بافر $10x$ ، ۵ میکرولیتر DNA الگو (25ng)، ۰/۲ میکرولیتر از *Taq* دی.ان.آ. پلی مرز با غلظت $5\mu l^{-1}$ و ۱۲/۴ میکرولیتر آب دو بار تقطیر با اضافه نمودن ۲۵ میکرولیتر روغن معدنی تهیه شد. عمل PCR با برنامه حرارتی ۳۰ ثانیه در ۹۵ درجه سانتیگراد و برای ۴۵ دوره: ۱ دقیقه در ۹۴ درجه سانتیگراد، ۱ دقیقه در ۳۵ درجه سانتیگراد و ۲ دقیقه در ۷۲ درجه سانتیگراد، در دستگاه ترموسایکلر انجام شد. محصول واکنش در ژل آگاروز ۱/۵٪ و بافر TAE به مدت ۲/۵ ساعت با ولتاژ ۸۰ ولت الکتروفورز شد و بعد ژل در محلول اتیدیوم بروماید به مدت ۳۰ دقیقه رنگ آمیزی و با استفاده از Gel document عکس برداری شد.

تصاویر حاصل از ژلها با استفاده از نرم افزار UVITEC تجزیه و تحلیل و باندها براساس حضور و عدم حضور، به کد صفر و یک تبدیل شد. دادهها پس از انتقال به نرم افزار Excel، توسط نرم افزار NTSYS ماتریس تشابه براساس ضریب تشابه Dice محاسبه و تجزیه خوشه‌ای با استفاده از زیرمنوی SAHAN به روش UPGMA انجام شد و دندروگرام رسم گردید. در نهایت نمونه‌های مورد مطالعه براساس PcoA (Principle Ccoordinate Analysis) در صفحه مختصات گروه‌بندی شدند و شاخص‌های تنوع (Di) و قدرت تفکیک (R_p) براساس فرمول‌های مربوطه برای هر پرایمر محاسبه گردید و روابط بین (R_p) با (Di) و (Di) با

(Ibi) از طریق رگرسیون در نرم‌افزارهای Minitab و Excel مورد مطالعه قرار گرفت.

نتایج

اطلاعات بانندی

آغازگرهای مورد استفاده در کل نمونه‌ها، ۲۱۴۷ باند تولید کردند (جدول ۲). تعداد ۱۸۲ مکان از ۱۹۱ مکان (۹۴٪) دارای چندشکلی بودند و محدوده اندازه باندهای بدست آمده بین ۲۰۰ تا ۹۰۰ جفت باز بود. آغازگر J بیشترین تعداد باند (۱۹۳) و آغازگر UBC76 کمترین تعداد باند (۶۶) را تولید کردند و آغازگرهای D و J بیشترین مکان (۱۷ مکان) را تکثیر کردند. آغازگر J یک باند به اندازه ۴۸۴ جفت باز تولید نموده که در تمام گونه‌ها و نمونه‌ها وجود دارد و یک باند به اندازه ۳۲۶ جفت باز که فقط در نمونه شماره ۱۹ وجود دارد و در بقیه دیده نمی‌شود (شکل ۲). به طور متوسط هر آغازگر ۱۲/۷ مکان را شناسایی و تکثیر نموده است. آغازگرهای G، C، H، F، UBC76، UBC77 و 400 بیشترین نسبت چندشکلی (۱۰۰٪) را نشان دادند. آغازگر E و UBC76 به ترتیب دارای بیشترین مقدار متوسط Ib (۰/۵۸) و کمترین Ib (۰/۲۷) بودند. همچنین آغازگرهای D و UBC76 به ترتیب دارای بیشترین R_p (۸/۶) و کمترین R_p (۲/۲) بودند.

تجزیه خوشه‌ای

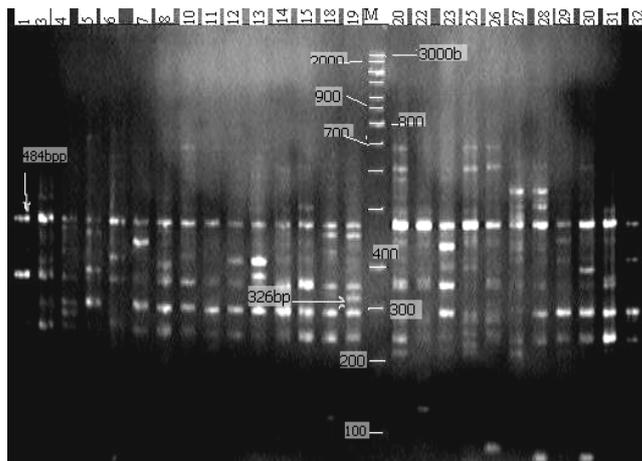
دندروگرام حاصل از تجزیه خوشه‌ای ۲۶ نمونه از ۱۱ گونه براساس ماتریس تشابه (جدول ۳) در ضریب تشابه ۰/۵۸ به ۴ گروه اصلی تقسیم شدند (شکل ۳). گروه A شامل یک نمونه شماره ۳۰ از گونه *C. polygonoides* و گروه B شامل ۱۲ نمونه که در ضریب تشابه ۰/۶۸ به دو

نمونه‌های: ۱۹، ۶، ۲۰، ۲۵، ۲۶، ۲۲، ۵، ۳۱، ۲۷، ۳۲ و ۱ که در درجه تشابه ۰/۵۹ به دو زیر گروه D1 و D2 تقسیم می‌شوند. زیر گروه D1 شامل چهار نمونه: شماره ۳۲ از گونه *C. crinitum* و شماره‌های ۳۱، ۵ و ۲۷ از گونه *C. polygonoides* می‌باشد. زیر گروه D2 شامل شماره‌های ۱ و ۱۹ از گونه *C. polygonoides* و شماره‌های ۶، ۲۰، ۲۵، ۲۶ و ۲۲ از گونه *C. bungei* بوده و از بین نمونه‌های مربوط به گونه *C. bungei* نمونه‌های ۲۰ و ۲۵ دارای ۰/۸۱ تشابه بودند. PCOA نمونه‌های مورد مطالعه را براساس دو مؤلفه اول و دوم که بیش از ۲۵٪ از کل واریانس را توجیه می‌کردند در ۵ گروه قرار داد (شکل ۴).

زیر گروه B1 و B2 تقسیم شدند. زیر گروه B1 شامل ۷ نمونه: شماره‌های ۱۳، ۱۸، ۲۸، ۱۵، ۱۴، ۱۲ و ۱۰ که به ترتیب شامل گونه‌های *caput-griseum intertextum paletzkianum* و *arborescense medusae stenopterum* می‌باشند. در این زیر گروه گونه‌های *arborescense* و *caput-medusae* بیشترین تشابه (۰/۷۹) را داشتند (جدول ۳). زیر گروه B2 شامل ۵ نمونه: شماره‌های ۲۳، ۲۹ و ۴ از گونه‌های *comosum* و شماره‌های ۷ و ۸ از گونه *stenopterum* می‌باشند که این ۵ نمونه دارای متوسط تشابه ۰/۶۱ می‌باشند. گروه C شامل نمونه‌های ۳ و ۱۱ که هر دو از گونه *C. leuocladum* می‌باشند و دارای تشابه ۰/۶۹ و تفاوت ۰/۳۱ هستند (جدول ۳). گروه D دارای ۱۱ نمونه شامل

جدول ۲- مشخصات آغازگرهای مورد استفاده و نتایج تجزیه RAPD

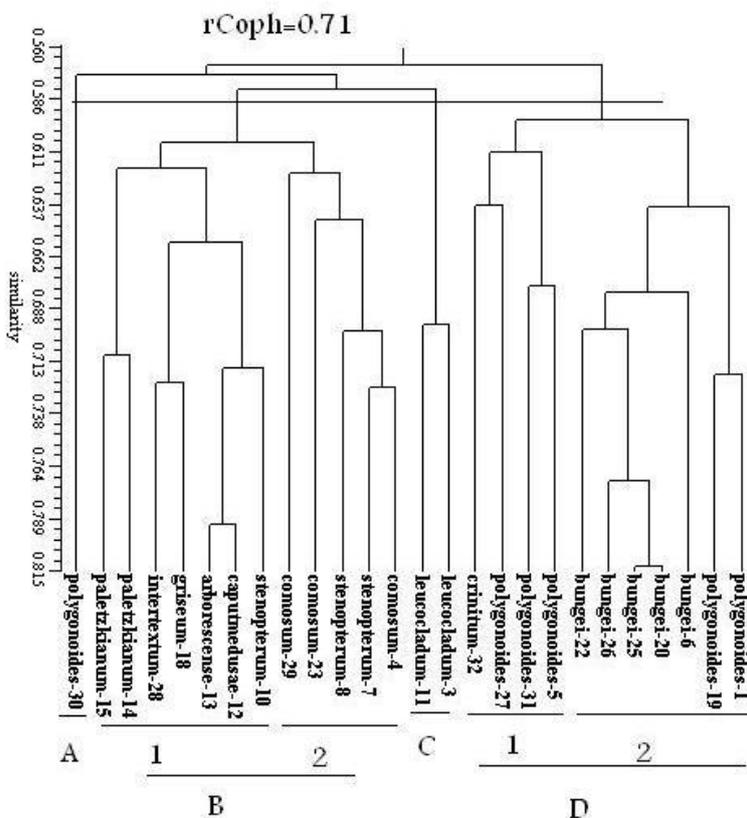
نام	توالی	تعداد کل باند تولید شده	تعداد مکان تکثیر شده	مکان چند شکلی	نسبت چند شکلی	متوسط باند در مکان	Ib	∑Di	DI متوسط شاخص تنوع	$R_p (\sum Ib)$
D	5'-TGGGCTCGCT-3'	۱۸۱	۱۷	۱۶	۰/۹۴	۱۰/۱۱	۰/۵۰	۵/۲۷	۰/۳۱	۸/۶
E	5'-ACTTGTGCGG-3'	۱۶۶	۱۳	۱۲	۰/۹۳	۱۱/۹۳	۰/۵۸	۴/۴۲	۰/۳۴	۷/۶
G	5'-CTGAGGAGTG-3'	۱۶۱	۱۲	۱۲	۱/۰۰	۱۲/۴۶	۰/۴۴	۳/۱۲	۰/۲۶	۵/۳
C	5'-CAGAGCACCG-3'	۱۳۹	۱۴	۱۴	۱/۰۰	۹/۳۳	۰/۵۲	۴/۷۶	۰/۳۴	۷/۳
400	5'-GCCCTGATAT-3'	۱۳۸	۱۴	۱۴	۱/۰۰	۹/۲۷	۰/۳۰	۴/۹	۰/۳۵	۴/۳
H	5'-GGTCAACCCT-3'	۱۳۸	۱۲	۱۲	۱/۰۰	۱۰/۶۹	۰/۴۶	۳/۳۶	۰/۲۸	۵/۵
I	5'-GCGGGAGACC-3'	۱۴۸	۷	۶	۰/۸۸	۱۸/۶۳	۰/۳۷	۱/۶۸	۰/۲۴	۲/۶
J	5'-CCTCACCTGT-3'	۱۹۳	۱۷	۱۶	۰/۹۴	۱۰/۷۸	۰/۴۹	۵/۱۰	۰/۳۰	۸/۴
F	5'-CCCCTGACG-3'	۱۰۹	۱۵	۱۵	۱/۰۰	۶/۸۸	۰/۴۸	۴/۹۵	۰/۳۳	۷/۲
UBC16	5'-GGTGGCGGGA-3'	۱۵۱	۱۰	۹	۰/۹۰	۱۵/۱۰	۰/۴۰	۲/۸	۰/۲۸	۴/۰۰
UBC84	5'-GGGCGCGAGT-3'	۱۸۷	۱۶	۱۴	۰/۸۸	۱۱/۰۶	۰/۳۶	۴	۰/۲۵	۵/۸
UBC82	5'-GGGCCCGAGG-3'	۱۳۴	۱۴	۱۳	۰/۹۳	۹/۵۷	۰/۴۷	۴/۶۲	۰/۳۳	۶/۶
UBC66	5'-GAGGGCGTGA-3'	۱۶۲	۸	۷	۰/۸۸	۲۰/۲۵	۰/۲۸	۱/۷۶	۰/۲۲	۲/۳
UBC76	5'-GAGCACCAGT-3'	۶۶	۸	۸	۱/۰۰	۸/۲۵	۰/۲۷	۲/۹۶	۰/۳۷	۲/۲
UBC77	5'-GAGCACCAGG-3'	۷۴	۱۴	۱۴	۱/۰۰	۵/۲۹	۰/۳۶	۵/۱۸	۰/۳۷	۵/۱
کل		۲۱۴۷	۱۹۱	۱۸۲						
میانگین			۱۲/۷	۱۲/۱	۰/۹۴	۱۰/۶۹			۰/۳۰	۵/۹



شکل ۲- الکتروفورز مربوط به الگوی بانندی آغازگر. J. فلش‌ها نشان‌دهنده باند ۴۸۴ bp که در تمام نمونه‌ها و گونه‌ها دیده

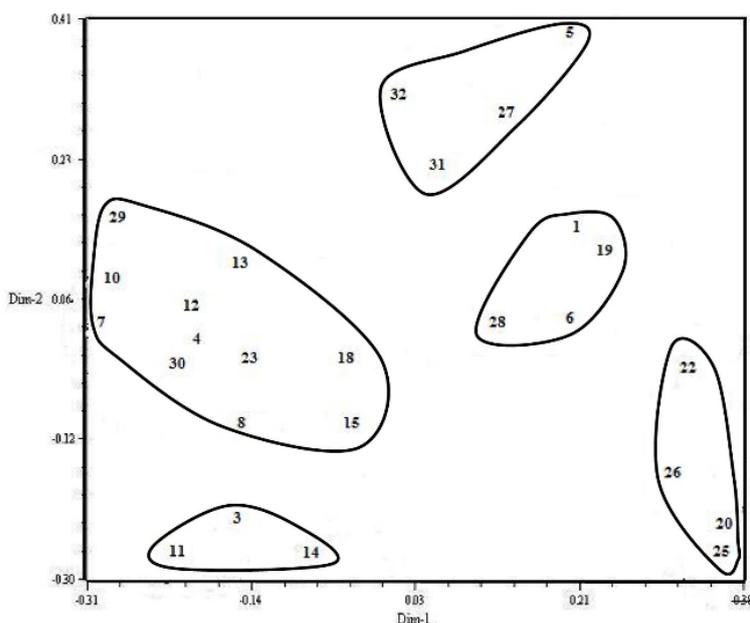
می‌شود و باند ۳۲۶ bp فقط در نمونه ۱۹ (*polygonoides*) موجود است. M مارکر

- (1) *C. polygonoides* (3) *C. leuocladum* (4) *C. comosum* (5) *C. polygonoides* (6) *C. bungei* (7) *C. stenopterum* (8) *C. stenopterum* (10) *C. stenopterum* (11) *C. leuocladum* (12) *C. caput-medusae* (13) *C. arborescense* (14) *C. paletzianum* (15) *C. paletzianum* (18) *C. griseum* (19) *C. polygonoides* (20) *C. bungei* (22) *C. bungei* (23) *C. comosum* (25) *C. bungei* (26) *C. bungei* (27) *C. polygonoides* (28) *C. intertextum* (29) *C. comosum* (30) *C. polygonoides* (31) *C. polygonoides* (32) *C. crinitum*



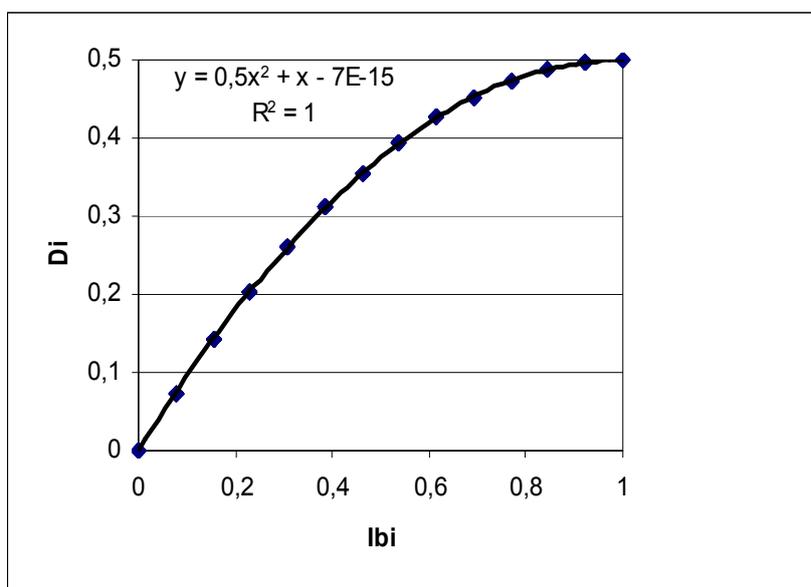
شکل ۳- دندروگرام تجزیه خوشه‌ای ۱۱ گونه و ۲۶ نمونه حاصل از به‌کارگیری روش UPGMA با استفاده

از ضریب تشابه Dice



شکل ۴ - گروه‌بندی نمونه‌های مورد مطالعه براساس تجزیه به مختصات اصلی

(1) *C. polygonoides* (3) *C. leuocladum* (4) *C. comosum* (5) *C. polygonoides* (6) *C. bungei* (7) *C. stenopterum* (8) *C. stenopterum* (10) *C. stenopterum* (11) *C. leuocladum* (12) *C. caput-medusae* (13) *C. arborescense* (14) *C. paletzianum* (15) *C. paletzianum* (18) *C. griseum* (19) *C. polygonoides* (20) *C. bungei* (22) *C. bungei* (23) *C. comosum* (25) *C. bungei* (26) *C. bungei* (27) *C. polygonoides* (28) *C. intertextum* (29) *C. comosum* (30) *C. polygonoides* (31) *C. polygonoides* (32) *C. crinitum*

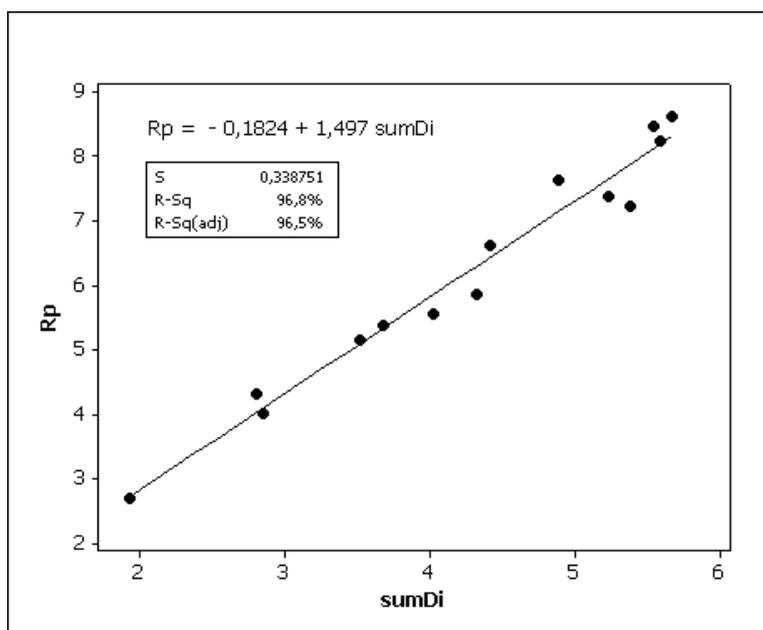


شکل ۵- رگرسیون ضریب اطلاع‌رسانی هر باند روی ضریب تنوع ژنتیکی هر باند

جدول ۳- ضرایب تشابه (پایین قطر) و تفاوت (بالای قطر) بین نمونه‌های مورد مطالعه

	۱	۳	۴	۵	۶	۷	۸	۱۰	۱۱	۱۲	۱۳	۱۴	۱۵	۱۸	۱۹	۲۰	۲۲	۲۳	۲۴
۱	۱	۰/۵۳	۰/۳۳	۰/۸۳	۰/۳۵	۰/۴۲	۰/۳۵	۰/۴۰	۰/۴۸	۰/۳۷	۰/۴۰	۰/۴۱	۰/۳۸	۰/۳۹	۰/۲۸	۰/۳۴	۰/۳۶	۰/۴۶	۰/۳۳
۳	۰/۴۷	۱	۰/۳۹	۰/۵۳	۰/۴۹	۰/۴۵	۰/۴۵	۰/۴۶	۰/۳۱	۰/۴۵	۰/۴۳	۰/۴۸	۰/۴۹	۰/۴۵	۰/۴۹	۰/۴۷	۰/۴۵	۰/۴۴	۰/۴۵
۴	۰/۶۷	۰/۶۱	۱	۰/۴۸	۰/۴۲	۰/۲۷	۰/۳۲	۰/۳۴	۰/۴۳	۰/۳۵	۰/۴۰	۰/۴۲	۰/۴۳	۰/۴۳	۰/۴۰	۰/۴۵	۰/۴۶	۰/۳۸	۰/۴۴
۵	۰/۶۲	۰/۴۷	۰/۵۲	۱	۰/۴۱	۰/۵۰	۰/۴۷	۰/۴۹	۰/۵۵	۰/۴۷	۰/۴۴	۰/۵۳	۰/۴۹	۰/۴۴	۰/۳۸	۰/۴۵	۰/۴۱	۰/۵۰	۰/۴۹
۶	۰/۶۵	۰/۵۱	۰/۵۸	۰/۵۹	۱	۰/۳۷	۰/۴۲	۰/۴۰	۰/۴۵	۰/۳۷	۰/۳۳	۰/۴۲	۰/۳۶	۰/۳۶	۰/۴۲	۰/۲۹	۰/۳۳	۰/۳۹	۰/۳۴
۷	۰/۵۸	۰/۵۵	۰/۸۳	۰/۵۰	۰/۶۳	۱	۰/۲۸	۰/۳۰	۰/۳۹	۰/۳۹	۰/۳۷	۰/۳۸	۰/۳۶	۰/۳۸	۰/۴۲	۰/۴۴	۰/۴۸	۰/۳۳	۰/۵۰
۸	۰/۶۵	۰/۵۵	۰/۶۸	۰/۵۳	۰/۵۸	۰/۷۲	۱	۰/۴۱	۰/۳۸	۰/۳۵	۰/۳۷	۰/۳۳	۰/۴۰	۰/۴۱	۰/۴۰	۰/۴۱	۰/۴۵	۰/۳۶	۰/۴۵
۱۰	۰/۶۰	۰/۵۴	۰/۶۶	۰/۵۱	۰/۶۰	۰/۷۰	۰/۵۹	۱	۰/۳۲	۰/۲۸	۰/۲۹	۰/۴۷	۰/۳۶	۰/۳۴	۰/۴۸	۰/۴۹	۰/۴۶	۰/۴۴	۰/۴۵
۱۱	۰/۵۲	۰/۶۹	۰/۵۷	۰/۴۵	۰/۵۵	۰/۶۱	۰/۶۳	۰/۶۸	۱	۰/۳۳	۰/۳۸	۰/۳۸	۰/۴۰	۰/۴۱	۰/۴۸	۰/۴۴	۰/۵۱	۰/۴۵	۰/۴۱
۱۲	۰/۶۳	۰/۵۵	۰/۶۵	۰/۵۳	۰/۶۳	۰/۶۱	۰/۶۵	۰/۷۲	۰/۶۷	۱	۰/۲۱	۰/۴۱	۰/۴۰	۰/۳۳	۰/۴۵	۰/۴۶	۰/۴۵	۰/۴۳	۰/۴۴
۱۳	۰/۶۰	۰/۵۷	۰/۶۰	۰/۵۶	۰/۶۷	۰/۶۳	۰/۶۳	۰/۷۱	۰/۶۲	۰/۷۹	۱	۰/۳۸	۰/۳۴	۰/۳۲	۰/۳۹	۰/۴۷	۰/۴۰	۰/۴۰	۰/۴۴
۱۴	۰/۵۹	۰/۵۲	۰/۵۸	۰/۴۷	۰/۵۸	۰/۶۲	۰/۶۷	۰/۵۳	۰/۶۲	۰/۵۹	۰/۶۲	۱	۰/۲۹	۰/۳۳	۰/۴۳	۰/۴۱	۰/۴۹	۰/۴۵	۰/۴۴
۱۵	۰/۶۲	۰/۵۱	۰/۵۷	۰/۵۱	۰/۶۴	۰/۶۴	۰/۶۰	۰/۶۴	۰/۶۰	۰/۶۰	۰/۶۶	۰/۷۱	۱	۰/۳۲	۰/۳۴	۰/۳۷	۰/۴۲	۰/۴۱	۰/۴۵
۱۸	۰/۶۱	۰/۵۵	۰/۵۸	۰/۵۶	۰/۶۴	۰/۶۲	۰/۵۹	۰/۶۶	۰/۵۹	۰/۶۷	۰/۶۸	۰/۶۷	۰/۶۸	۱	۰/۳۸	۰/۴۱	۰/۳۷	۰/۴۰	۰/۳۹
۱۹	۰/۷۲	۰/۵۱	۰/۶۰	۰/۶۲	۰/۵۸	۰/۵۸	۰/۶۰	۰/۵۲	۰/۵۲	۰/۵۵	۰/۶۱	۰/۵۷	۰/۶۶	۰/۶۲	۱	۰/۳۵	۰/۴۰	۰/۴۱	۰/۳۹
۲۰	۰/۶۶	۰/۵۳	۰/۵۵	۰/۵۵	۰/۷۱	۰/۵۶	۰/۵۹	۰/۵۱	۰/۵۶	۰/۵۴	۰/۵۳	۰/۵۹	۰/۶۳	۰/۵۹	۰/۶۵	۱	۰/۳۰	۰/۴۳	۰/۱۹
۲۲	۰/۶۴	۰/۵۵	۰/۵۴	۰/۵۹	۰/۶۷	۰/۵۲	۰/۵۵	۰/۵۴	۰/۴۹	۰/۵۵	۰/۶۰	۰/۵۱	۰/۵۸	۰/۶۳	۰/۶۰	۰/۷۰	۱	۰/۴۲	۰/۳۰
۲۳	۰/۵۴	۰/۵۶	۰/۶۲	۰/۵۰	۰/۶۱	۰/۶۷	۰/۶۴	۰/۵۶	۰/۵۵	۰/۵۷	۰/۶۰	۰/۵۵	۰/۵۹	۰/۶۰	۰/۵۹	۰/۵۷	۰/۵۸	۱	۰/۴۴
۲۵	۰/۶۴	۰/۵۵	۰/۵۴	۰/۵۱	۰/۶۶	۰/۴۹	۰/۵۵	۰/۵۵	۰/۵۹	۰/۵۶	۰/۵۶	۰/۵۶	۰/۶۰	۰/۶۱	۰/۶۱	۰/۸۱	۰/۷۰	۰/۵۴	۱
۲۶	۰/۶۹	۰/۵۶	۰/۵۷	۰/۵۹	۰/۶۷	۰/۵۹	۰/۶۴	۰/۵۸	۰/۶۵	۰/۵۸	۰/۶۰	۰/۵۸	۰/۶۱	۰/۶۴	۰/۶۴	۰/۷۷	۰/۶۹	۰/۵۵	۰/۷۱
۲۷	۰/۵۹	۰/۵۳	۰/۵۲	۰/۶۱	۰/۶۰	۰/۵۶	۰/۵۲	۰/۶۱	۰/۴۹	۰/۶۰	۰/۶۳	۰/۴۷	۰/۵۸	۰/۶۳	۰/۶۶	۰/۵۶	۰/۶۵	۰/۵۷	۰/۵۷
۲۸	۰/۶۲	۰/۵۳	۰/۵۹	۰/۵۹	۰/۶۹	۰/۶۱	۰/۶۱	۰/۶۱	۰/۶۰	۰/۶۴	۰/۶۷	۰/۶۰	۰/۶۱	۰/۷۲	۰/۶۶	۰/۶۸	۰/۶۲	۰/۵۴	۰/۶۰
۲۹	۰/۵۴	۰/۵۴	۰/۶۲	۰/۵۴	۰/۵۶	۰/۷۲	۰/۵۷	۰/۶۴	۰/۶۰	۰/۶۱	۰/۶۲	۰/۴۹	۰/۵۹	۰/۵۹	۰/۵۲	۰/۵۳	۰/۵۲	۰/۵۷	۰/۴۴
۳۰	۰/۵۰	۰/۵۶	۰/۵۵	۰/۴۸	۰/۵۱	۰/۶۳	۰/۵۵	۰/۶۴	۰/۵۷	۰/۵۳	۰/۵۵	۰/۵۲	۰/۶۱	۰/۵۷	۰/۵۴	۰/۵۲	۰/۵۳	۰/۶۲	۰/۵۲
۳۱	۰/۶۸	۰/۵۱	۰/۵۷	۰/۶۸	۰/۶۵	۰/۶۱	۰/۵۹	۰/۶۳	۰/۶۰	۰/۵۷	۰/۶۱	۰/۵۴	۰/۶۰	۰/۶۰	۰/۶۱	۰/۵۹	۰/۵۷	۰/۵۶	۰/۵۰
۳۲	۰/۶۵	۰/۵۰	۰/۵۷	۰/۶۲	۰/۶۱	۰/۶۱	۰/۵۵	۰/۶۰	۰/۵۳	۰/۵۹	۰/۶۱	۰/۵۳	۰/۵۴	۰/۵۶	۰/۶۰	۰/۵۷	۰/۵۱	۰/۵۶	۰/۵۴

(1) *C. polygonoides* (3) *C. leucocladum* (4) *C. comosum* (5) *C. polygonoides* (6) *C. bungei* (7) *C. stenopterum* (11) *C. leucocladum* (12) *C. caput-medusae* (13) *C. arborescense* (14) *C. paletzianum* (15) *C. palustris* (16) *C. polygonoides* (20) *C. bungei* (22) *C. bungei* (23) *C. comosum* (25) *C. bungei* (26) *C. bungei* (27) *C. polygonoides* (28) *C. comosum* (30) *C. polygonoides* (31) *C. polygonoides* (32) *C. crinitum*



شکل ۶- رگرسیون قدرت تفکیک پرایمر روی مجموع تنوع ژنتیکی حاصل از هر پرایمر در افراد تحت مطالعه

بحث

اطلاعات بانندی

هرچه Ib و Rb مربوط به آغازگر بیشتر باشد، کارایی آغازگر در تفکیک و جداسازی ژنوتیپ‌های تحت مطالعه بیشتر است (Dhief et al., 2011; Prevost et al., 1999). مقدار Ib و Rb برای یک آغازگر رابطه مستقیمی با تعداد لوکوس تکثیر شده و تعداد افرادی از جمعیت که دارای باند مورد نظر می‌باشند، دارد. نتیجه‌ای که از اطلاعات بانندی آغازگرهای مورد استفاده در این مطالعه بدست می‌آید، اینکه این آغازگرها توان بالایی را در تفکیک و گروه‌بندی و جداسازی بین گونه‌ها و درون گونه‌ها دارند. زیرا، تعداد لوکوس‌های شناسایی شده در ژنوم کالیگونوم در دامنه ۷-۱۷ لوکوس با میانگین ۱۲/۷ لوکوس و نسبت چندشکلی ۰/۹۴ و میانگین شاخص تفکیک و جداسازی ۵/۹ می‌باشند. شاخص متوسط تنوع ژنتیکی (DI) هر

آغازگر نیز می‌تواند نشان‌دهنده قدرت تفکیک ژنوتیپ‌ها باشد و حداکثر آن برابر با ۰/۵ است و این مقدار زمانی بدست می‌آید که pi برابر ۰/۵ باشد، یعنی نیمی از افراد تحت مطالعه دارای باند مورد نظر باشند، حداکثر Ibi برابر ۱ است و زمانی بدست می‌آید که pi برابر ۰/۵ باشد. بنابراین هر چه Di به ۰/۵ نزدیکتر می‌شود Ibi به ۱ نزدیکتر خواهد شد (شکل ۵). بنابراین Ib و DI هر دو یک مفهوم و کاربرد را دارند و رابطه خطی معنی‌دار و قوی بین Rb و $\sum Di$ وجود دارد و به خوبی می‌توان از $\sum Di$ بجای Rp استفاده کرد (شکل ۶).

تجزیه خوشه‌ای

تجزیه خوشه‌ای انجام شده براساس ماتریس تشابه، تنوع بین گونه‌ای و درون گونه‌ای را در جمعیت مورد مطالعه نشان می‌دهد. نزدیکترین افراد مربوط به دو

کلاد قرار گرفته‌اند (Tavakkoli et al., 2008). همچنین در مطالعه فیلوژنی جنس *Calligonum* و جنس *Pteropyrum* که به روش تجزیه بیزی (Bayesian analysis) و براساس توالی DNA کلروپلاست (*cpDNA trn L-F*) انجام شده، این دو گونه تشابه زیادی را نشان داده‌اند (Tavakkoli et al., 2010). در گونه *C. polygonoides*، دو نمونه از این گونه (شماره‌های ۱ و ۱۹) همراه با گونه *C. bungei* در زیرگروه D2 قرار گرفته‌اند و یکی از نمونه‌های *C. polygonoides* (شماره ۳۰) در یک گروه مجزا قرار گرفته که از نظر جغرافیایی مربوط به آذربایجان غربی است که مکان کاملاً متفاوتی از سایر مناطق جغرافیایی است. احتمالاً شرایط خاص اکولوژیکی زیستگاه این نمونه علت جدا شدن آن از سایر نمونه‌ها باشد. از نظر تنوع درون گونه‌ای، گونه *C. polygonoides* دارای بیشترین تنوع درون گونه‌ایست (از ۰/۵۷ تا ۰/۷۲). تنوع مشاهده شده در درون گونه *C. polygonoides* با تنوعی که Sangeeta و همکاران (۲۰۰۹) در هندوستان درون ۲۲ نمونه از این گونه گزارش کرده‌اند همخوانی دارد. سه نمونه مربوط به گونه *C. comosum* در یک زیر گروه همراه با گونه *C. stenopterum* قرار گرفته‌اند. گروه بندی نمونه‌ها براساس PcoA با گروه بندی افراد براساس تجزیه خوشه‌ای در تشابه ۰/۶۰ تقریباً مطابقت دارد. بنابراین تجزیه به مختصات اصلی وقتی که دو مؤلفه اول و دوم بیش از ۲۵٪ واریانس موجود در بین افراد جمعیت را توجیه می‌کنند توان تفکیک و گروه بندی بالایی را دارد (Mohammadi & Prasanna, 2003). به طور کلی تنوع مشاهده شده بین و درون گونه‌ای جنس *Calligonum* در این مطالعه را می‌توان بدین شرح تفسیر و توجیه نمود که هر چند همبستگی کاملی بین فاصله‌های ژنتیکی و

نمونه از گونه *C. bungei* با ضریب تشابه ۰/۸۱ و دورترین آنها با ضریب تشابه ۰/۴۵ (جدول ۳) مبین تفاوت‌های ژنتیکی بالاست. ضریب کوفتیک ($r=0/71$) نشان داد که دندروگرام بدست آمده در روش UPGMA مطابقت خوبی با ماتریس تشابه دارد (Mohammadi & Prasanna, 2003) از بین ۱۱ گونه تحت مطالعه فقط افراد گونه *C. leucocladum* با ضریب تشابه ۰/۶۹ در یک گروه مجزای C قرار گرفته‌اند که تفاوت بین آنها (۰/۳۱) می‌تواند به علت مناطق جغرافیایی و اقلیمی متفاوت آنها (جدول ۱ و شکل ۱) باشد که در معرض موتاسیون‌ها و فشار سلکسیونی متفاوتی بوده‌اند (Singh & Wadhvani, 1996). تمام نمونه‌های گونه *C. bungei* در یک زیر گروه با تشابه ۰/۶۷ قرار گرفته‌اند، در صورتی که محل جمع‌آوری آنها چندصد کیلومتر با هم فاصله دارند (جدول ۱ و شکل ۱) و عدم مطابقت توزیع جغرافیایی و تنوع ژنتیکی را نشان می‌دهد. شماره‌های ۱۴ و ۱۵ دو نمونه از گونه *C. paletzianum* در کنار یکدیگر با تشابه ۰/۷۱ در زیر گروه B1 قرار گرفته‌اند که مربوط به مناطق قاین و نهبندان (خراسان جنوبی) می‌باشند. هشت گونه دیگر در کلاس‌های مجزا گروه بندی نشده‌اند. دو گونه *C. caput-medusae* و *C. arborescense* تشابه زیادی را نشان دادند (۰/۷۹)، گرچه مربوط به دو منطقه جغرافیایی از استان اصفهان هستند (جدول ۱). این تشابه را شاید بتوان مربوط به داشتن جد مشترک این دو گونه دانست، شبیه آنچه که Dhief و همکاران (2011)، تشابه زیاد بین *C. azel* و *C. comosum* را در داشتن جد مشترک دانسته‌اند. در تجزیه کلادستیکی (Cladistic Analysis) نیز که بر روی جنس *Calligonum* و جنس *Pteropyrum* انجام شده است این دو گونه تشابه زیادی را نشان داده و در یک

زمان گلدهی و فنولوژی گیاه، خصوصیات جوانه‌زنی و واکنش آنها به استرس‌های محیطی که تماماً ژنتیکی است، باشد (Xiaoshan *et al.*, 2011; Dhief *et al.*, 2011; Dashti *et al.*, 2011). و همچنین از طرفی باندهای مشابه بدست آمده از RAPD در افراد مختلف ضرورتاً مشابه و همولوگ نیستند ولی در عین حال از نظر اندازه و تعداد جفت باز یکسان هستند (Liu & Runo & Muluvi, 2004; Pie, 1999). این مسئله ممکن است باعث نشان دادن روابط ژنتیکی غیر واقعی شود. در مطالعه‌ای Mabbereley (1997) اظهار نموده که جنس کالیگونوم، به‌عنوان یکی از جنس‌های مهم خانواده *Polygonaceae* با داشتن حدود ۸۰ گونه، تنوع زیادی را در مدت زمان کوتاهی در بیابان‌های خشک و داغ در آسیای مرکزی نشان داده است. خصوصیات سیتوژنتیکی و دگرگشتی از عوامل دیگری است که موجب تنوع درون گونه‌ای و تشابهات بین گونه‌ای می‌شود. در تحقیقی Ferchichi (1997) نشان داد که گونه *C. comosum* در تونس با $2n=36$ کروموزوم از گونه *C. azel* با $2n = 18$ بوجود آمده است. همچنین Dhief و همکاران (2011) نیز اعلام کرده‌اند سه گونه *C. azel*، *C. comosum* و *C. arich* از یک جد مشترک منشأ گرفته‌اند. همچنین اینترورگرسیون و هیبریداسیون و متعاقباً تتراپلویدی که توسط دیگران گزارش شده است نیز مزید بر علت است (Tavakkoli *et al.*, 2010). اما در بررسی دیگری که بر روی سیستم گرده‌افشانی در چهار گونه از جنس کالیگونوم انجام شده، نشان داده است که گونه‌ها خودسازگار بوده و دگرگشتی هم در آنها دیده می‌شود ولی تلاقی بین گونه‌ای در آنها مشاهده نشده است (Xiaoshan *et al.*, 2011). تجزیه RAPD تنوع قابل توجهی را در جنس کالیگونوم در ایران نشان داد، اما تنوع

جغرافیایی وجود ندارد اما تنوع جغرافیایی و اکولوژیکی زیستگاه‌های وارسته‌ها و گونه‌های مختلف این جنس در ایجاد تنوع مؤثر است (Dheif *et al.*; Sangeeta *et al.*, 2009). توزیع جغرافیایی و اکولوژیکی گیاهان در تنوع ژنتیکی بیشتر، سهیم می‌باشند. برای مثال نمونه‌های ۷ و ۸ در این مطالعه از یک گونه و یک منطقه هستند و در یک خوشه قرار گرفتند. همچنین، نمونه‌های ۱ و ۱۹ از یک گونه و در یک منطقه هستند اما در گونه *C. comosum* نمونه‌های ۲، ۲۹ و ۴ در یک گروه ژنتیکی قرار دارند ولی متعلق به مناطق کاشان و یزد (مروست) و بم می‌باشند. چنانچه تقسیم‌بندی‌های اقلیمی در نظر گرفته شوند (خشک و سرد، فراخشک و خشک و گرم) تقریباً گروه‌بندی ژنتیکی با گروه‌بندی بدست آمده در تجزیه خوشه‌ای مطابقت می‌کند ولی فاصله‌های جغرافیایی با فاصله‌های ژنتیکی کمتر مطابقت دارد. شاید بتوان گفت یکی از علت‌های اصلی آن انتقال بذر گونه‌های جنس کالیگونوم به مناطق مختلف از طریق مهاجرت‌ها و بادهای شدید و یا تعداد کم آغازگر مورد استفاده باشد. تشابه ژنتیکی زیاد بدست آمده از RAPD برای افرادی که از گونه‌های متفاوتند، احتمالاً بخشی از آن به این علت باشد که گیاه‌شناسان، تاکسونومی و شناسایی گونه‌های جنس *Calligonum* را تنها براساس خصوصیات میوه انجام می‌دهند (Wei *et al.*, 2009; Pan & Mao, 1986). در صورتی که باندهای RAPD فقط اختصاص به مکان‌های DNA مربوط به خصوصیات میوه ندارد و یا فاصله ژنتیکی زیاد مشاهده شده داخل یک گونه از جمله *polygonoides* می‌تواند انعکاس تفاوت‌های دیگری غیر از مرفولوژی دانه همانند ارتفاع، رنگ شاخه‌ها، طول میانگره‌ها، تعداد شاخه‌های فرعی، رنگ گل و رنگ میوه،

- و گروه‌بندی ژنتیکی مشاهده شده نه با تنوع و مناطق جغرافیایی مطابقت خوبی نشان می‌دهد و نه با گروه‌بندی براساس گونه‌های تعیین شده توسط گیاه‌شناسان. که دلایل احتمالی آن ذکر گردید. بنابراین به نظر می‌رسد اگرچه مارکر RAPD به خوبی توانسته است تنوع در جنس کالیگونوم را نشان دهد ولی قادر به تفکیک گونه‌ها نیست. به نظر می‌رسد برای تفکیک و شناسایی گونه‌های جنس کالیگونوم مارکر SSR توان بیشتری داشته باشد، بنابراین طراحی و ساخت پرایمرهای SSR برای مطالعه تنوع در جنس کالیگونوم می‌تواند کمک زیادی در شناسایی ساختار ژنتیکی و تفکیک گونه‌های آن بنماید، همچنانکه Zhang و Zhu (2009) با شناسایی ۱۴ لوکوس میکروساتلیت توانستند چهار گونه از جنس کالیگونوم (*C.rubicundum*، *C.junceum*، *C.mongolicum* و *C.aphyllum*) را تفکیک و شناسایی کنند.
- منابع مورد استفاده**
- Dashti, H., Azarnivand, H., Shirani, H., Hajabbasi, M. A, and Maddahosseini, S. H., 2011. Response of three *Calligonum* species to salinity at germination and seedling stages. African Journal of Agricultural Research, 6(19): 4487-4493.
- Demeke, T., Adams, R.P. and chibbar, R., 1992. Potential taxonomic use of random amplified polymorphic DNA (RAPD): a case study in *Brassica*. Theoretical and Applied Genetics., 84: 990-994.
- Dhief, A., Gorai, M., Aschi-Smiti, S., and Neffati, M., 2009. Comparative phenological and water potential patterns of three *Calligonum* species in the eastern Great Erg of Tunisia, Flora, 204: 581-592.
- Dhief, A., Ferdaws, G., Tibra, T., Neffati, M., and Samir, A., 2011. Natural genetic variation in *Calligonum* Tunisian genus analyzed by RAPD markers. African Journal of Biotechnology, 10(48): 9766-9778.
- Doyle, J.J. and Doyle, J.L., 1990. Isolation of plant DNA from fresh tissue. Focus, 12: 13-15.
- Ferchichi, A., 1997. Contribution à l'étude caryologique, caryosystématique, morphologique et écologique de la flore de la Tunisie présaharienne. Thèse de doctorat (Ph.D). Faculté des Sciences de Tunis, Tunisie, p. 187
- Fernandes, M.E., Figueiras, A.M. and Beenito, C., 2002. The use of ISSR and RAPD markers for detecting DNA polymorphism, genotype identification, and genetic diversity among barley cultivars with known origin. Theoretical and Applied Genetics, 104: 845-858
- Joshi, C.P., and Nguyen, H.T., 1993. RAPD (Random amplified polymorphic DNA) analysis based on intervarietal genetic relationships among hexaploid wheats. Plant Science, 93: 95-103.
- Liu, Z.Q. and Pei, Y., 1999. Relationship between hybrid performance and genetic diversity based on RAPD markers in wheat, *Triticum aestivum* L. Plant Breeding, 118(2): 119-123.
- Maassoumi, A.A., 2011. a revision of the genus *Calligonum* L. (*Polygonaceae*) in Iran. Iranian Journal of Botany, 17 (1): 43-54
- Mabberely, D.J., 1997. The Plant Book. Cambridge University Press, Cambridge, 858pp.
- Mao, Z. M. and Pan, B. R. 1986. The classification and distribution of the genus *Calligonum* L. in China. Acta Phytotaxonomica Sinica, 24: 98-107.
- Milbourne, D., Meyer, R., Bradshaw, J.E., Baird, E., Bonar, N., Provan, J., Powell W. and Waugh, R., 1997. Comparison of PCR-based marker systems for the analysis of genetic relationship in cultivated potato. Molecular Breeding, 3:127-136.
- Mohammadi, S.A and Prasanna, B. M., 2003. Analysis of genetic diversity in crop plants, salient statistical tools and considerations. Crop Science, 43:1235-1248.
- Prevost, A. and Wilkinson, M.J., 1999. A new system of comparing PCR primers applied to ISSR fingerprinting of potato cultivars. Theoretical and Applied Genetics, 98: 107-112.
- Powell, W., Morgante, M. and Andre, C., 1996. The comparison of RFLP, RAPD, AFLP and

- Tavakkoli, S., Kazempour Osaloo, S.h. and Maassoumi, A.A., 2008. Morphological cladistic analysis of *Calligonum* and *Pteropyrum (polygonaceae)* in Iran. Iranian Journal of Botany, 14 (2): 117-125.
- Tavakkoli, S., Kazempour Osaloo, S.H. and Maassoumi, A.A., 2010. The phylogeny of *Calligonum* and *Pteropyrum (Polygonaceae)* based on nuclear ribosomal DNA ITS and chloroplast trnL-F sequences. Iranian Journal of Biotechnology, 8(1): 7-15.
- Vornom, B. and Gebhardt, K., 1999. Application of cp DNA-and RAPD-markers in characterization of Clone Collections of wild Cherries and performance of micro propagated plus trees. In: Espinel S and Ritter E (eds). Congress Application of biotechnology to forest genetics. Vitoria-Gasteiz, 51-71.
- Xiaoshan, K., Pan, B., Shimin, D., Wei, S. and Yongzhi, Z., 2011. The reproductive biology of *Calligonum* L. in relation to *ex situ* conservation in a botanical garden. Archives of Biological Science Belgrade, 63(3): 799-809.
- Wei, S., Borong, P., Gaskin, John F. and Xiaoshan, K., 2009. Morphological variation and chromosome studies in *Calligonum mongolicum* and *C. pumilum* (Polygonaceae) suggests the presence of only one species. Nordic Journal of Botany, 27: 81-85.
- Zhang, Q. and Zhu, X. T., 2009. Microsatellite DNA loci from the drought desert plant *Calligonum mongolicum* Turcz. (Polygonaceae). Conservation of Genetics, 10: 1891-1893.
- SSR(microsatellite) markers for germplasm analysis. Molecular Breeding, 2: 225-238.
- Rao, R. and Riley, R., 1994. The use of biotechnology for conservation and utilization of plant genetic resources. Plant Genetics Resources News, 97: 3-20.
- Rao, K. N., 2004. Plant genetics resources: Advancing conservation and use through biotechnology. African Journal of Biotechnology, 3(2): 136-145.
- Ren, J. and Tao, L., 2004. RAPD study on interspecies relationships in *Calligonum*. Acta Botany Boreal-Occidental Sinica, 22: 338-343.
- Runo, M.S. and Muluvi, G.M., 2004. Analysis of genetic structure in *Melia volkensii* (Gurke.) population using random amplified polymorphic DNA. African Journal of Biotechnology, 3(8): 421-425.
- Sangeeta, B., Santosh, K.S., Ajuy, P., Sadha, S., Satyawada, R.R. and Arun, K., 2009. Utilization of RAPD marker to analyze natural genetic variation in *Calligonum polygonoides* L.-A key stone species of Thar desert. International Journal of Integrative Biology, 5(3): 143-151.
- Singh, UR. and Wadhvani, AM., 1996. Dictionary of Economic Plants in India. ICAR New Delhi, 37-60.
- Strelchenko, P., Street, K., Mitrofanova, O., Mackay, M., Chabane, K. and Valkoun, J. 2003. The genetic relationships between hexaploid wheat landraces from different geographical origin. In 'Proc 10th Int Wheat Gen Symp. September 1-6, 2003, Paestum, Italy, 2: 637-640.

Evaluation of genetic diversity in Iranian *Calligonum* L. species using RAPD markers

H. Dashti -Khavidaki^{1*}, H. Arzarnivand², M.R. Naghavi³, M. Jafari⁴ and A. Tavili⁵

1*- Corresponding Author, Ph.D. student in De-desertification, Faculty of Natural Resources, University of Tehran, Karaj, I.R.Iran, E-mail: hassandashti51@yahoo.com

2- Assoc. Prof., Faculty of Natural Resources, University of Tehran, Karaj, I.R. Iran

3- Prof., Faculty of Agriculture, University of Tehran, Karaj, I.R. Iran

4- Prof., Faculty of Natural Resources, University of Tehran, Karaj, I.R. Iran

5- Assoc. Prof., Faculty of Natural Resources, University of Tehran Karaj, I.R., Iran

Received: 07.01.2012

Accepted: 01.23.2013

Abstract

Calligonum species are distributed in central Asia desert and are effective to stabilize sand dunes. RAPD is a useful genetical marker to determine polymorphism and relationship among plant species. In order to evaluate Genetic diversity within and between species of *Calligonum* was evaluated using 15 RAPD primers in 26 samples of 11 species collected from different parts of Iran. According to diversity indices, Dice similarity, cluster analysis and band information a total of 191 bands was amplified and 94% of the bands were polymorphic. Cluster analysis revealed a high amount of diversity among the samples. The most similar samples with 0.81 similarity was found within *C. bungei* species, while the least similarity (0.45) obtained in samples from other different species. All samples clustered in four groups, samples of *C. polygonoides* and *C. leucocladum* located in two groups separately. However, other species distributed in two other groups. There was low relationship between genetic divergence and geographical origins that could be because of seed migration between the locations by wind and human.

Key words: *Calligonum*, Cluster analysis, Similarity, RAPD, Germplasm, Geographical distribution.